

北海道大学 正員 北郷繁
 " " ○神谷光彦

1. まえがき

道央に広く分布する支笏湖を噴出源とする火山灰土について、筆者らが一昨年からひきつづき行ってきた実験について報告する。試験に用いた試料は図-1に示す地点より採取したもので、流下生成物(以下L型と称す)5点、降下生成物(A型)5点の計10点で、実施した試験は物理試験、突固め試験、強度試験であるが、ここでは主に強度試験についての結果を報告する。

2. 試験方法

強度試験は三軸圧縮試験を行い、A型、L型の全試料について、4.76%フルイを通過した気乾状態の試料を用いて行なった。供試体寸法は幅50mm、高さ120mm、ヒズム速度は0.8%/minのヒズム制御法で、排水試験を行なった。用いた拘束圧は0.2, 0.5, 1.0,

2.0, 4.0, 6.0 kg/cm²の6種、初期密度はゆるぎめ、密づめの2種類とした。また、L型についてはJIS-A-1210の2-2-6法で突固めた後、気乾し、4.76%フルイを通過したものと、初期密度を突固めを受けていない試料と一緒にして、同一条件でせん断したものと比較した。また、せん断中の体積変化はエアーマノメーターを用いて測定し、せん断終了後は粒子の破碎を調べるためにフルイ別け試験を行なった。

3. 実験結果とその考察

実験より得られた破壊包絡線を、L型については図-2に、A型については図-3に示してある。図には3種の線が引かれており、1つはTaylor-Bishopのエネルギー補正をしたもの、もう1つはRoweの提案による補正をしたものと、全然補正をしていないものである。図から明らかのように、破壊包絡線は原点を通る曲線状を呈し、拘束圧が高くなるにつれて、次第に平坦になる傾向を示す。また、包絡線の初期の傾度は他の砂質土と比較して、かなり大きな値を示す。この理由として、一般に火山灰土の粒子は形状や表面状態が粗で、しかも不規則であるため、低拘束圧ではこれが破碎されることが多いことと、せん断中に粒子の再配列に必要なエネルギーが他の拘束圧時に比較して大きいためと思われる。

全試料について、計算された内部摩擦角 ϕ と粘着力 C を表-1に示す。この表においてBishop法およびRowe法による ϕ の値は低拘束圧部分の ϕ であり、補正していないものは2種類を値が示してある。1つは原点を通る

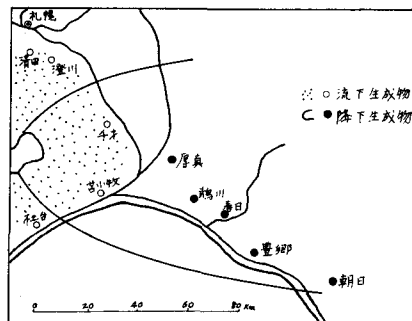


図-1

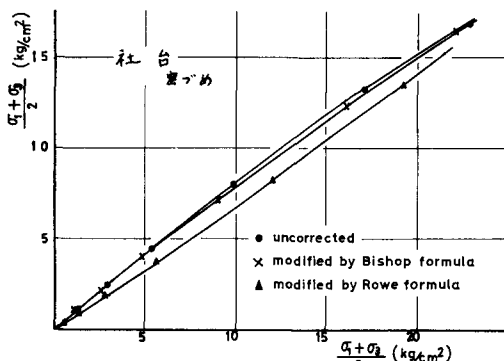


図-2

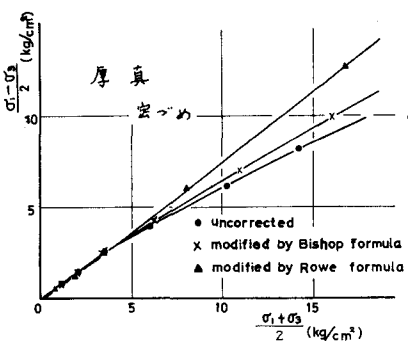


図-3

表 - 1

試料名	uncorrected			modified	
	lower ϕ_0	higher ϕ_0	$C \text{ kg/cm}^2$	Rowe formula	Bishop formula
	ϕ°	ϕ°	ϕ°	ϕ°	ϕ°
L	L 46.5	39.5	0.42	39.0	45.0
	D 50.0	46.5	0.51	48.5	
	L 49.0	41.0	0.56	39.5	47.5
	D 54.0	45.5	0.78		53.0
	L 45.0	41.0	0.59	42.0	43.5
	D 51.0	46.5	0.39		48.7
A	L 48.0	42.5	0.61	39.5	46.0
	D 55.0	45.5	0.64		52.0
	L 51.0	38.0	0.68	41.0	50.5
	D 56.0	47.5	0.56		53.5
	L 42.5	28.0	0.77	41.0	42.5
	D 48.0	30.0	1.21		48.0
I	L 41.0	20.0	1.06	44.5	41.0
	D 46.0	22.5	1.87		46.5
	L 39.5	29.0	0.81	41.0	39.5
	D 46.0	30.0	1.22		46.1
	L 42.5	23.0	0.78	43.5	42.5
	D 47.0	28.0	1.13		47.0
C	L 44.0	23.5	0.73	45.5	44.0
	D 47.0	27.0	0.99		47.0

L: ゆるづめ, D: 密づめ

低拘束圧部分の ϕ であり、もう一つは高拘束圧 ($2.0, 4.0, 6.0 \text{ kg/cm}^2$) の部分を直線で結んだ ϕ である。これより、 ϕ は拘束圧の関数となり、拘束圧が高くなるに従い、見かけの粘着力 C を有するようになる。また、特に A 型において顕著であるが、拘束圧が高くなるにつれ、ゆるづめ、密づめの初期密度の違いによる ϕ の差が小さくなっていく傾向を示している。また、一般に砂質土において、Rowe 法による場合は破壊包絡線は直線状になり、粒子の破碎が起きないならば、かなり大きな拘束圧でも ϕ の変化は小さいといわれており、図-2, 3 より、破壊包絡線が曲線状を呈するのは、粒子の破碎に起因するものと思われる。

そこで粒子の破碎を調べるために、セン断終了後の全試料についてフルイ別け試験を行い、破碎の状態を量的に示すために、セン断後の試料の粒径加積曲線における各粒径 (ここで用いたのは $2.0, 0.84, 0.42, 0.25, 0.105, 0.074 \text{ mm}$) における通過百分率の合計を粒度数 (gradation number) と名づけ、各拘束圧における ϕ との関係を示したのが図-4である。ここで用いた ϕ は $\sin \phi = (\sigma_1 - \sigma_3) / (\sigma_1 + \sigma_3)$ で示されるものであり、各拘束圧により変化するものである。この図からわかるように、粒度数は ϕ の減少と共に増加していることから、拘束圧が高いほど (ϕ が小さくなるほど) 破碎が大きくなることがわかる。これが火山灰土の強度定数が、粒子の破碎に強く関連していることは明白であるが、粒子の破碎が強度定数に与える影響を定量的に把握するには、まだ多くの実験を重ねる必要があると思われる。

つぎに、5種の L型火山灰土について、初期密度を同じくして、密づめをうけて粒子が破碎されていると思われる試料と、全くその履歴のない試料との強度を比較したのが図-5である。この図において内部摩擦角 ϕ は低拘束圧部分についての ϕ である。この図から、砂質土の強度は間隙比に支配されるものであるが、同一の初期密度で破碎履歴のあるものは、そうでないものにくらべて、初期密度に関係なく強度定数が低下する傾向が全試料についてみられる。これは火山灰土において、強度定数が、特に低拘束圧の場合において、粒子の表面状態に影響されるものと考えられるが、その両者の差は実用上問題になるほどの大さくはないといえよう。

4. あとがき

本研究は主として、文部省科学研究費の補助を受け、昭和 47 年度の卒業研究として、浅利勝彦、福留学君の多大な協力を得た。ここに記し、謝意を表すものである。

参考文献

北郷繁、高岩勝： 第7回土質工学研究発表会講演集、1972, pp. 53~56

春山元寿： 土と基礎、vol. 20, NO. 2, 1972, pp. 41~47

Lee, K. L, Seed, H. B : Proc. A.S.C.E., 1967, S.M. 6, pp. 117~141

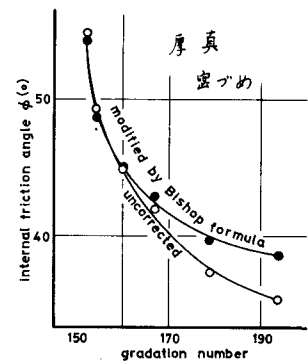


図 - 4

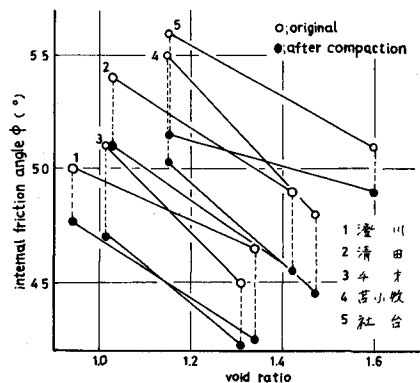


図 - 5